

V. S. Trush

Influence of solid-solution hardening of the surface on mechanical characteristics of the titanium alloy BT1-0

Summary

Experimental results of the research of solid solution hardening influence on fatigue and strength characteristics of titanium alloy BT1-0 have been presented. The range of optimum values of a level of superficial hardening for achievement of the maximal increase of mechanical characteristics of an alloy under different loading conditions is established.

УДК 669.017.11

Фазові рівноваги в системі Ti – Zr – Mn

В. А. Дехтяренко*

Інститут металофізики ім. Г. В. Курдюмова НАН України, Київ



Методом скануючої електронної мікроскопії і енергодисперсійного рентгеноспектрального аналізу вивчено мікроструктуру та встановлено хімічний склад фаз, що утворюються при кристалізації евтектики за реакцією $L \leftrightarrow \beta$ (Ti, Zr, Mn) + λ (Ti, Zr)Mn_{2-x} у сплавах системи Ti – Zr – Mn з різним вмістом цирконію.

У системі Ti – Zr – Mn авторами [1, 2] показано існування безперервного ряду твердих розчинів між ізоструктурними сполуками TiMn₂ і ZrMn₂. У роботах [3, 4] досліджувалися фазові рівноваги в області складів Ti – TiMn₂ – ZrMn₂ – Zr. В результаті було побудовано поверхню солідусу титанового кута потрійної системи, проекції поверхонь солідусу і ліквідусу, а також ряд політермічних перетинів [4]. У роботі [5] були представлені діаграми з метастабільними фазами, які формуються у літих припійних матеріалах.

Метою даного дослідження було уточнення положення евтектичної бінодалі в обмежений області Ti – TiMn₂ – ZrMn₂ – Zr системи Ti – Zr – Mn та встановлення хімічного складу фаз, що утворюються при кристалізації евтектики за реакцією $L \leftrightarrow \beta$ (Ti, Zr, Mn) + λ (Ti, Zr)Mn_{2-x}.

Для виявлення особливостей зародження та росту евтектичних колоній та визначення складу первинних кристалів і евтектики у сплавах системи Ti-Zr-Mn було вибрано сплави, склад яких наведено у табл. 1.

*Друга премія ім. М.П. Брауна.

Науковий керівник роботи доктор технічних наук, професор Іванченко В.Г.

Таблиця 1

Номінальний склад досліджених сплавів

№	ат. частка, %			мас. частка, %		
	Ti	Zr	Mn	Ti	Zr	Mn
1	58,5	20,0	21,5	48,24	31,42	20,34
2	55,0	20,0	25,0	45,16	31,29	23,55
3	51,5	20,0	28,5	42,11	31,15	26,74
4	49,0	33,3	17,7	36,91	47,79	15,30
5	45,7	33,3	21,0	34,30	47,62	18,08
6	42,0	33,3	24,7	31,39	47,42	21,19
7	21,0	58,5	20,5	13,46	71,46	15,08
8	19,0	56,5	24,5	12,28	69,55	18,17
9	18,0	54,0	28,0	11,76	67,24	21,00

Мікроструктури сплавів представлено на рис. 1 а – в. Евтектика, що складається з твердого розчину та інтерметаліду має скелетну структуру, у якій зароджуючою фазою, що веде евтектичну кристалізацію є інтерметалід $(\text{Ti}, \text{Zr})\text{Mn}_{2-x}$. Він росте у вигляді розгалуженого остову і утворює арматуру колонії. Керованою фазою є твердий розчин ($\text{Ti}, \text{Zr}, \text{Mn}$), який утворює матрицю колонії. Таким чином, як і в більшості систем метал – інтерметалід, фазою, яка зароджує та веде евтектичну кристалізацію є фаза з більш високою ентальпією плавлення та більш високою гетеродесмічністю міжатомних зв'язків. Утворення основи евтектичної колонії та наступний її ріст залишаються типовими для евтектик поліедр-дендрит.

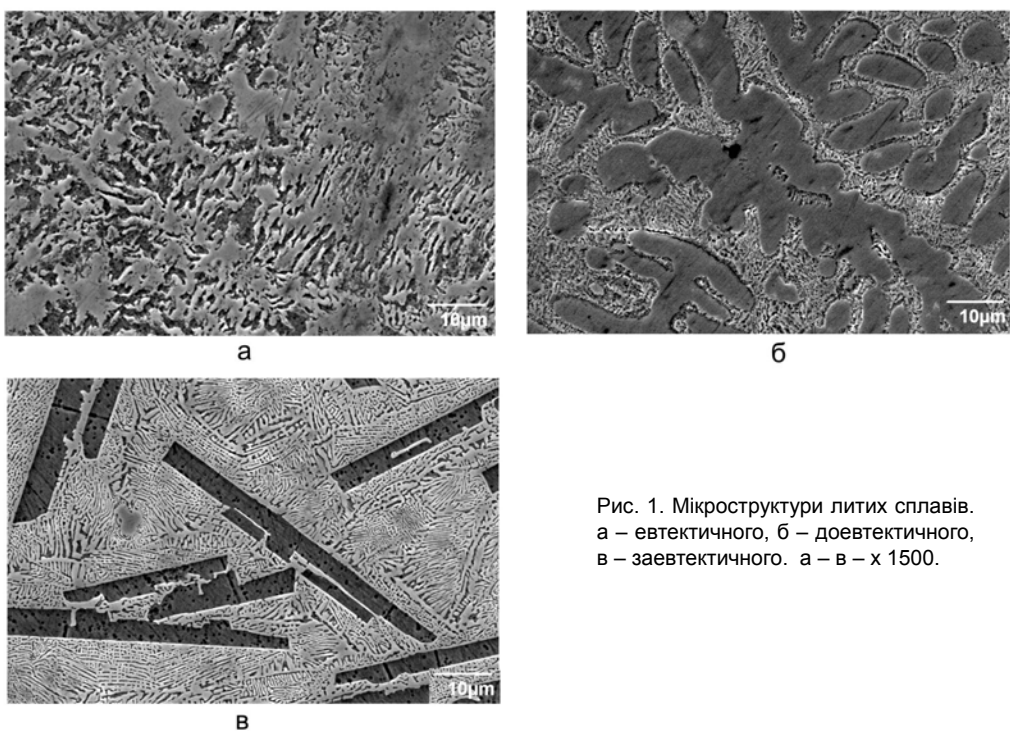


Рис. 1. Мікроструктури литих сплавів.
а – евтектичного, б – доевтектичного,
в – заевтектичного. а – в – $\times 1500$.

У сплавах, склад яких близький до евтектичного, утворення основи евтектичної колонії відбувається шляхом зародження на поверхні або поблизу базового кристалу інтерметаліду $(\text{Ti}, \text{Zr})\text{Mn}_{2-x}$ зародку твердого розчину $(\text{Ti}, \text{Zr}, \text{Mn})$, який швидко розростається по поверхні базового кристалу, утворюючи плаский дендрит. Це ілюструє рис. 1 а. При цьому відбувається збагачення рідини марганцем, що призводить до проростання інтерметаліду у міжвіттях плаского дендриту та розростанню його по поверхні обідка. Після цього починається кооперативний ріст евтектичної колонії.

У доевтектичних сплавах (рис. 1 б) системи $\text{Ti} - \text{Zr} - \text{Mn}$ утворення основи евтектичної колонії в основному відбувається шляхом зародження базового кристалу інтерметаліду у глибині міжгілкових проміжків дендритів первинних кристалів твердого розчину $(\text{Ti}, \text{Zr}, \text{Mn})$, з наступним розростанням по його поверхні плаского кристалу твердого розчину. Форма та напрямок росту базового кристалу повністю обумовлюється умовами на фронті кристалізації, в результаті чого інтерметалід може виходити з міжгілкового простору у вигляді тонких прожилок з наступним розростанням евтектичної колонії в об'єм розплаву. В доевтектичних сплавах утворення базових кристалів може також відбуватися і за межами міжгілкових ділянок. У цьому випадку вони розміром та формою мало чим відрізняються від тих, що утворюються у сплавах евтектичного складу. Послідовність процесів, які призводять до зародження та росту евтектичної колонії, зберігається.

У заевтектичних сплавах (рис. 1 в) системи $\text{Ti} - \text{Zr} - \text{Mn}$ утворення основи евтектичної колонії в основному відбувається шляхом утворення базового кристалу твердого розчину $(\text{Ti}, \text{Zr}, \text{Mn})$ на поверхні первинних кристалів інтерметаліду $(\text{Ti}, \text{Zr})\text{Mn}_{2-x}$ через який проростає інтерметалід і далі починається кооперативний ріст обох фаз.

Слід зазначити, що зміна контрасту фаз, що спостерігається на рис. 1 а – в, пов'язана зі зміною їх опосередненої атомної маси в результаті легування цирконієм. В табл. 2 наведено склад окремих фаз та евтектики за даними локального рентгеноспектрального аналізу.

Таблиця 2

Склад окремих фаз та евтектики

Сплав	Сплав (ат. частка, %)			Склад фаз (ат. частка, %)		
	Ti	Zr	Mn	Твердий розчин	Інтерметалід	Евтектика
1	58,5	20,0	21,5	$\text{Ti} - 18,86\text{Zr} - 12,61\text{Mn}$		
2	55,0	20,0	25,0			$\text{Ti} - 19,68\text{Zr} - 25,53\text{Mn}$
3	51,5	20,0	28,5		$\text{Ti} - 20,97\text{Zr} - 47,54\text{Mn}$	
4	49,0	33,3	17,7	$\text{Ti} - 38,3\text{Zr} - 7,2\text{Mn}$		
5	45,7	33,3	21,0			$\text{Ti} - 34,8\text{Zr} - 21\text{Mn}$
6	42,0	33,3	24,7		$\text{Ti} - 28,98\text{Zr} - 47,88\text{Mn}$	
7	21,0	58,5	20,5	$\text{Ti} - 79,27\text{Zr} - 5,55\text{Mn}$		
8	19,0	56,5	24,5			$\text{Ti} - 57,24\text{Zr} - 24,92\text{Mn}$
9	18,0	54,0	28,0		$\text{Ti} - 32,08\text{Zr} - 48,55\text{Mn}$	

За даними локального рентгеноспектрального аналізу, скануючої мікроскопії було уточнено поверхню ліквідусу та солідусу часткової системи $\text{Ti} - \text{TiMn}_2 - \text{ZrMn}_2 - \text{Zr}$ яка наведена на рис. 2 а, б.

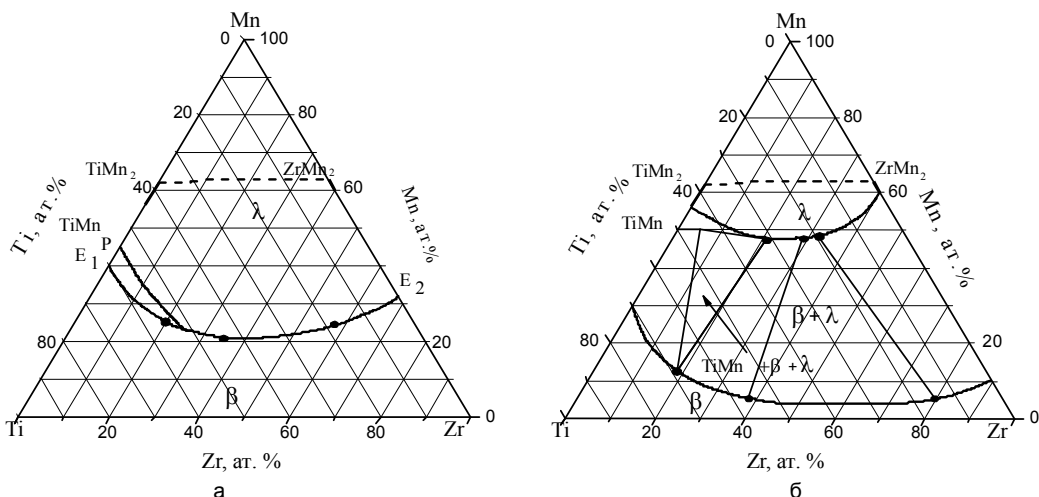


Рис. 2. Уточнена поверхня в обмеженій області $\text{Ti} - \text{TiMn}_2 - \text{ZrMn}_2 - \text{Zr}$ системи $\text{Ti} - \text{Zr} - \text{Mn}$. а – ліквідусу, б – солідусу. λ – $(\text{Ti}, \text{Zr})\text{Mn}_2$, β – $(\text{Ti}, \text{Zr}, \text{Mn})$.

Література

- Jacob I., Stern A., Moran A. Hydrogen absorption in $(\text{Zr}_{x}\text{Ti}_{1-x})\text{B}_2$ ($\text{B} = \text{Cr, Mn}$) and the phenomenological model for the absorption capacity in pseudo-binary Laves-phase compounds. // J. Less-Common Metals. – 1980. – 73. – P. 369 – 376.
- Blazina Z., Trojko R. On Friauf-Laves Phases in the $\text{Zr}_{1-x}\text{Al}_x\text{T}_2$, $\text{Zr}_{1-x}\text{Si}_x\text{T}_2$ and $\text{Zr}_{1-x}\text{Ti}_x\text{T}_2$ ($\text{T} = \text{Mn, Fe, Co}$) Systems. // J. Less-Common Metals. – 1987. – 133. – P. 277 – 286.
- Іванченко В.Г., Ничипоренко В.И., Прядко Т.В. Определение поверхности солидуса в титановом углу диаграммы состояния Ti-Zr-Mn . // Металлофизика и новейшие технологии. – 2006. – 28. – С. 977 – 982.
- Ivanchenko V.G., Pryadko T.V., Gavrylenko I.S. Phase equilibria in the $\text{Ti} - \text{TiMn}_2 - \text{ZrMn}_2 - \text{Zr}$ partial system. // Chemistry of metals and alloys. – 2006. – 1. – P. 67 – 72.
- Хорунов В.Ф., Максимова С.В., Іванченко В.Г. Получение соединений гамма – алюминида титана и исследование его свойств. // Адгезия расплавов и пайка материалов. – 2004. – 37. – С. 88 – 95.

Одержано 27.04.11

В. А. Дехтяренко

Фазовые равновесия в системе $\text{Ti} - \text{Zr} - \text{Mn}$

Резюме

Методом сканирующей электронной микроскопии и энергодисперсионного рентгеноспектрального анализа изучена микроструктура и установлен химический состав фаз, которые образуются при кристаллизации эвтектики по реакции $L \leftrightarrow \beta (\text{Ti, Zr, Mn}) + \lambda (\text{Ti, Zr})\text{Mn}_{2-x}$ в сплавах системы $\text{T} - \text{Zr} - \text{Mn}$ с разным содержанием циркония.

V.A. Dekhtyarenko

Phase equilibrium in Ti-Zr-Mn system

Summary

Microstructure of $\text{Ti} - \text{Zr} - \text{Mn}$ alloys with different Zr content was studied with scanning electron microscopy and energy dispersive X-ray spectral analysis. Chemical composition of phases formed at eutectic crystallization according to $L \leftrightarrow \beta (\text{Ti, Zr, Mn}) + \lambda (\text{Ti, Zr})\text{Mn}_{2-x}$ reaction was determined.